

УДК 541.6:544.1:547.565.2

ВЛИЯНИЕ 5-МЕТИЛРЕЗОРЦИНА НА СПИНОВУЮ КОНВЕРСИЮ В МОЛЕКУЛЯРНОМ КИСЛОРОДЕ

Г.И. Кобзев, А.Н. Казаева, З. Футтеркнхт

Оренбургский государственный университет

E-mail: kazaevaan@mail.ru

Статья поступила 27 сентября 2012 г.

С доработки — 19 апреля 2013 г.

В рамках метода DFT/B3LYP определены геометрические параметры молекул 5-метилрезорцина (MP) в различных спиновых состояниях ${}^{1,3,5}\text{MP}$ и его комплексов с кислородом ${}^{1,3}(\text{O}_2\text{—MP})$. Методом MRCI на функциях MCSCF построены сечения поверхностей потенциальных энергий реакции образования межмолекулярного комплекса ${}^{1,3}(\text{O}_2\text{—MP})$. С учетом спин-орбитального взаимодействия рассчитаны моменты разрешенных и запрещенных по спину переходов комплексов, и проанализирована возможность конверсии спина в ${}^3\text{O}_2$ под влиянием MP.

Ключевые слова: 5-метилрезорцин, возбужденные состояния кислорода, поверхность потенциальной энергии (ППЭ), спиновая конверсия.

Алкилоксибензолы (АОБ) как микробные аутоиндукторы анабиоза представляют собой биологически активные вещества. В настоящее время собрана масса данных о разнообразных функциях АOB в живых организмах, в том числе активно изучается влияние АOB на иммунные реакции в организме человека и животных, так как их постоянное присутствие обеспечивается потребляемой пищей и микрофлорой хозяина [1]. Показано также, что АOB могут вызывать расщепление ДНК с образованием активных форм кислорода (АФК), а также проявляют антиоксидантные свойства. Активность АOB в этих процессах возрастает в присутствии кислорода [2]. Не исключено, что АOB способствуют генерации синглетного кислорода $\text{O}_2(a^1\Delta_g)$ вследствие индуцирования запрещенного по спину перехода $\text{O}_2(X^3\Sigma_g^-)\text{—O}_2(a^1\Delta_g)$ подобно эффекту, проявляемому в межмолекулярных кислородных комплексах [3—5].

Представляет интерес изучить условия снятия спиновых и орбитальных запретов в кислороде на примере комплекса $(\text{O}_2\text{—MP})$ с одним из представителей класса АOB — 5-метилрезорцином (MP).

Ранее комплексы АOB с кислородом теоретически не изучали, их свойства и энергии связывания не оценивали.

Цель данной работы заключается в исследовании возможности образования устойчивых межмолекулярных комплексов кислорода с MP, оценке моментов переходов $\text{O}_2(X^3\Sigma_g^-)\text{—O}_2(a^1\Delta_g)$, $\text{O}_2(b^1\Sigma_g^+)\text{—O}_2(a^1\Delta_g)$, $\text{O}_2(c^1\Sigma_g^+)\text{—O}_2(a^1\Delta_g)$, $\text{O}_2(c^1\Sigma_g^+)\text{—O}_2(b^1\Sigma_g^+)$ в комплексах ${}^{1,3}(\text{O}_2\text{—MP})$ и изучении возможности конверсии спина в ${}^3\text{O}_2$ под влиянием MP.

МЕТОДЫ РАСЧЕТА

Геометрия равновесных состояний молекул и межмолекулярных комплексов рассчитана методом DFT [6, 7] с использованием функционала B3LYP. Моделирование межмолекулярных

потенциалов взаимодействия кислорода и 5-метилрезорцина проводили методами DFT/UB3LYP, DFT/ROB3LYP, ROHF, CI с учетом четырехкратных возбуждений, MRCI и MCSCF. В активное пространство (АП) расчетов CI, MRCI и MCSCF включены 18 электронов на четырнадцати МО (18, 14). Для улучшения сходимости в расчетах методом ROHF и DFT/B3LYP использовали канонические орбитали [8], полученные установкой параметров $A_{(cc)} = 0,0$, $A_{(oo)} = 1,0$, $A_{(vv)} = 1,0$, $B_{(cc)} = 3,0$, $B_{(oo)} = 0,0$, $B_{(vv)} = 0,0$. Моменты перехода между основными и возбужденными состояниями рассчитывали методом спин-орбитального взаимодействия (SOC) на основе функций MCSCF с учетом четырехкратных возбуждений. Все расчеты проведены в базисе 6-31G(1p,1d).

Работа выполнена с помощью программы Firefly QC [9], частично основанной на исходном коде GAMESS (US) [10].

ОБСУЖДЕНИЕ РЕЗУЛЬТАТОВ

Оптимизация геометрии основного и возбужденных состояний $S = 0, 1, 2$ молекулы 5-метилрезорцина свидетельствует, что в триплетном состоянии ($S = 1$) одна из гидроксильных групп отклоняется от плоскости кольца (рис. 1, б), а в квинтетном состоянии ($S = 2$) происходит отклонение обеих гидроксильных групп в противоположные от кольца стороны (см. рис. 1, в).

Изменение геометрии молекулы сопровождается нарушением sp^2 -гибридизации атомов углерода и неравномерным распределением спиновой плотности по атомам углерода шестичленного цикла (см. рис. 1). Энергии синглет-триплетного и синглет-квинтетного расщепления в молекуле 5-метилрезорцина приведены в табл. 1.

Анализ шести возможных конформаций комплекса ${}^3(\text{O}_2\text{---MP})$, рассчитанных методом DFT, показал, что наиболее энергетически выгодной является конформация с координацией кислорода к гидроксильной группе 5-метилрезорцина под углом 120° к ароматическому кольцу (конф. 1, табл. 2).

При расчете профилей ППЭ реакции образования межмолекулярного комплекса кислорода и 5-метилрезорцина (конф. 1) за координату реакции принято расстояние между атомом водорода гидроксильной группы MP и ближайшим к нему атомом кислорода молекулы O_2 . Методы DFT, ROHF, MCSCF и MRCI подтверждают слабое связывание для основного состояния комплекса ${}^3(\text{O}_2\text{---MP})_{\text{конф. } 1}$, энергии диссоциации и равновесные расстояния между молекулами приведены в табл. 3.

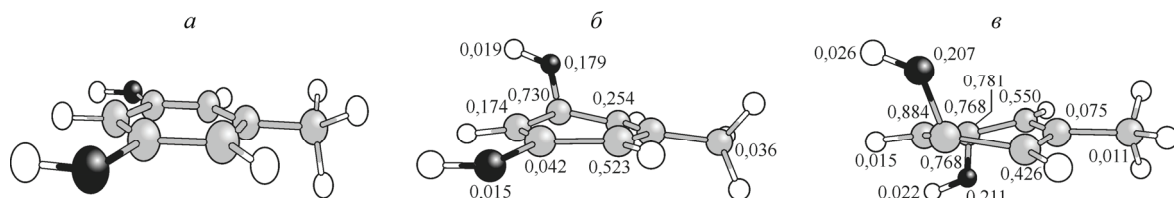


Рис. 1. Распределение спиновой плотности в молекуле 5-метилрезорцина в синглетном $S = 0$ (а), триплетном $S = 1$ (б) и квинтетном $S = 2$ состояниях

Таблица 1

Энергия синглет-триплетного и синглет-квинтетного расщеплений 5-метилрезорцина, рассчитанная различными методами

Тип расщепления	Энергия расщепления, эВ			
	DFT/UB3LYP	DFT/ROB3LYP	CI	MCSCF
$S_0\text{---}T_1$	3,54	3,64	3,11	3,42
$S_0\text{---}Q_1$	7,21	7,37	6,42	8,15

Таблица 2

Структура и полная энергия (E , ат. ед.) различных конформаций комплексов ${}^3(\text{O}_2\text{---MP})$ (DFT/UB3LYP, DFT/ROB3LYP)

Структура межмолекулярного комплекса ${}^3(\text{O}_2\text{---MP})$	Конформация	E , ат. ед. DFT/UB3LYP	E , ат. ед. DFT/ROB3LYP
	1	-572,340977	-572,337025
	2	-572,3408816	-572,336901
	3	-572,339855	-572,335916
	4	-572,339672	-572,335730
	5	-572,339579	-572,335612
	6	-572,339357	-572,335416

Таблица 3

Энергия диссоциации D_e и равновесные расстояния R_e между молекулами в комплексе ${}^3(\text{O}_2\text{—MP})$, рассчитанные различными методами

Параметр	DFT/UB3LYP	DFT/ROB3LYP	ROHF	MCSCF	MRCI
D_e , эВ	0,051	0,050	0,029	0,015	0,015
R_e , Å	2,33	2,33	2,70	2,70	2,70

Результаты расчетов ППЭ межмолекулярных комплексов ${}^{1,3}(\text{O}_2\text{—MP})$ методом СІ на функциях DFT/ROB3LYP с учетом четырехкратных возбуждений указывают на диссоциативность основного и возбужденных состояний.

Слабосвязывающие термы комплексов возникают при расчетах в рамках метода MRCI/6-31G(1p,1d) на собственных векторах MCSCF. Энергия связывания основного и возбужденных состояний лежит в интервале 0,011—0,021 эВ (рис. 2).

Расчет энергии диссоциации слабосвязанных комплексов предполагает использование атомного базиса с учетом не только поляризационных, но и диффузных функций. Это позволяет более точно воспроизвести профиль кривой межмолекулярного взаимодействия, особенно в области стационарных точек больше равновесной до предела диссоциации. При этом диффузные функции необходимо учитывать на атомах периферии молекулы, так как учет на всех атомах может привести к неверному результату вследствие возникновения линейной зависимости базиса от диффузных функций. Важно заметить, что D_e , вычисляемое как разность между точкой предела диссоциации и состояния равновесия, в нашей задаче будет мало отличаться от значений, вычисленных как с диффузными функциями, так и без них. Например, расчет MRCI на собственных векторах MCSCF в базисе 6-31G(1p,1d) дает D_e для основного состояния (см. рис. 2), равное 0,015 эВ, а расчет MCSCF+MRCI в базисе 6-31G++(1p,1d) с учетом диффузных функций на атомах водорода 5-метилрезорцина и на молекуле кислорода приводит к значению D_e , равному 0,013 эВ.

Рассчитанные значения энергий переходов в изолированной молекуле O_2 и в комплексах ${}^{1,3}(\text{O}_2\text{—MP})$ (табл. 4) хорошо согласуются с экспериментальными [11] и теоретическими данными расчетов энергий переходов в O_2 для комплексов ${}^{1,3}(\text{O}_2\text{—M})$, $\text{M} = \text{N}_2$, H_2O , $\text{C}_2\text{H}_4\text{CO}_2$, CH_3OH , Se , Mn [3—5].

Расчет моментов перехода (табл. 5) позволяет оценить возможность конверсии спина в молекуле O_2 под влиянием 5-метилрезорцина. Известно, что в межмолекулярных кислородных комплексах величина момента запрещенного по спину перехода в кислороде $M(a\text{—}X)$ в первом приближении может быть оценена как $M(a\text{—}X) = C \times M(b\text{—}a)$ [12, 13], где $C = \frac{\langle b | H_{SO} | X \rangle}{\Delta E(X - b)}$,

а $\langle b | H_{SO} | X \rangle$ — матричный элемент оператора спин-орбитального взаимодействия между состояниями $\text{O}_2(b^1\Sigma_g^+)$ и $\text{O}_2(X^3\Sigma_g^-)$. Момент $b\text{—}a$ в кислороде запрещен орбитально и по симметрии и проявляется как слабый квадрупольный переход (полоса Ноксона). Механизм индуцирования перехода $b\text{—}a$ в межмолекулярных кислородных комплексах определяется асимметрией смешивания двух вырожденных молекулярных π_g -орбиталей кислорода с молекулярными орбиталями взаимодействующей с ним молекулы [13]. Расчеты подтверждают данный механизм (рис. 3).

Анализ табл. 5 показывает, что межмолекулярное взаимодействие кислорода и 5-метилрезорцина приводит к индуцированию запрещенных по спину электрических дипольных переходов $\text{O}_2(a, a'{}^1\Delta_g) \rightarrow \text{O}_2(X^3\Sigma_g^-)$ и $\text{O}_2(b^1\Sigma_g^+) \rightarrow \text{O}_2(X^3\Sigma_g^-)$, которые в изолированной молекуле кислорода запрещены и проявляются как слабые магнитно-дипольные переходы, и к индуцированию запрещенных синглет-синглетных переходов $\text{O}_2(b^1\Sigma_g^+) \rightarrow \text{O}_2(a^1\Delta_g)$, $\text{O}_2(c^1\Sigma_g^+) \rightarrow \text{O}_2(a^1\Delta_g)$ и $\text{O}_2(c^1\Sigma_g^+) \rightarrow \text{O}_2(b^1\Sigma_g^+)$. Это свидетельствует о возрастании вероятности конверсии спина в моле-

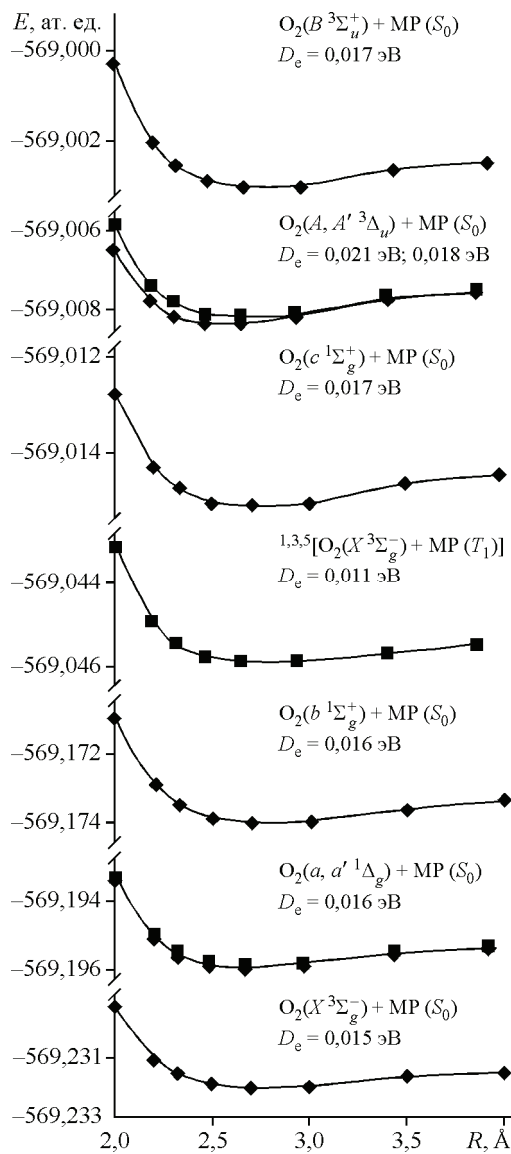


Рис. 2. Сечение ППЭ образования межмолекулярного комплекса $^{1,3}(O_2—MP)$, рассчитанное методом MRCI на собственных векторах MCSCF

Таблица 4

Энергия переходов (E) в изолированной молекуле O_2 (АП — 8, 6) и в O_2 в составе комплексов $^{1,3}(O_2—MP)$ (АП — 18, 14), рассчитанная методом MRCI на собственных векторах MCSCF

Переход	E в O_2 для комплексов $^{1,3}(O_2—MP)$, эВ	E в изолированной молекуле O_2 , эВ
$O_2(a, a'^1\Delta_g) — O_2(X^3\Sigma_g^-)$	0,98	0,91
$O_2(b^1\Sigma_g^+) — O_2(X^3\Sigma_g^-)$	1,58	1,69
$O_2(c^1\Sigma_g^+) — O_2(X^3\Sigma_g^-)$	5,90	5,84
$O_2(A, A'^3\Delta_u) — O_2(X^3\Sigma_g^-)$	6,09	6,07
$O_2(B^3\Sigma_u^+) — O_2(X^3\Sigma_g^-)$	6,23	6,22

Таблица 5

Моменты переходов в комплексе $(O_2—MP)$, рассчитанные методом СІ на собственных векторах MCSCF в АП — 18, 14 с учетом четырехкратных возбуждений

Переход	Момент перехода M , ea_0	Полный момент перехода M , ea_0
$O_2(a^1\Delta_g) — O_2(X^3\Sigma_g^-)$	0,00002	$4,47 \times 10^{-5}$
$O_2(a'^1\Delta_g) — O_2(X^3\Sigma_g^-)$	0,00004	
$O_2(b^1\Sigma_g^+) — O_2(X^3\Sigma_g^-)$	0,00001	0,00001
$O_2(c^1\Sigma_g^+) — O_2(X^3\Sigma_g^-)$	0	0
$O_2(b^1\Sigma_g^+) — O_2(a^1\Delta_g)$	0,00194	$3,55 \times 10^{-3}$
$O_2(b^1\Sigma_g^+) — O_2(a'^1\Delta_g)$	0,00297	
$O_2(c^1\Sigma_g^+) — O_2(a^1\Delta_g)$	0,00238	$6,35 \times 10^{-3}$
$O_2(c^1\Sigma_g^+) — O_2(a'^1\Delta_g)$	0,00589	
$O_2(c^1\Sigma_g^+) — O_2(b^1\Sigma_g^+)$	0,00040	0,00040

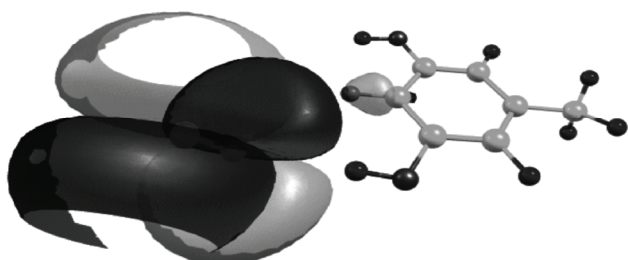


Рис. 3. Асимметрия смешивания двух вырожденных π_g -молекулярных орбиталей кислорода с молекулярными орбиталями 5-метилрезорцина

Рис. 4. Энергии термов равновесного состояния комплекса ${}^{1,3}(\text{O}_2\text{—MP})_{\text{конф. } 1}$, рассчитанные методом CI с учетом спин-орбитального взаимодействия

$\text{O}_2(c\ ^1\Sigma_g^+ + \text{MP}(S_0))$	40069,987 cm^{-1}
$[{}^1[\text{O}_2(X\ ^3\Sigma_g^-) + \text{MP}(T_1)]]$	34754,722 cm^{-1}
$\text{O}_2(b\ ^1\Sigma_g^+ + \text{MP}(S_0))$	5129,069 cm^{-1}
$\text{O}_2(a'\ ^1\Delta_g) + \text{MP}(S_0)$	503,565 cm^{-1}
$\text{O}_2(a'\ ^1\Delta_g) + \text{MP}(S_0)$	0,116 cm^{-1}
$\text{O}_2(X\ ^3\Sigma_g^-) + \text{MP}(S_0)$	
$M_S = \pm 1$	-8686,027 cm^{-1}
$M_S = 0$	-8688,104 cm^{-1}

куле кислорода при переходе из триплетного состояния $X\ ^3\Sigma_g^-$ в синглетные состояния $a^1\Delta_g$, $b^1\Sigma_g^+$, $c^1\Sigma_g^+$.

Энергии термов равновесного состояния комплекса ${}^{1,3}(\text{O}_2\text{—MP})_{\text{конф. } 1}$ с учетом спин-орбитального взаимодействия приведены на рис. 4. Спин-орбитальная компонента энергии расщепления в нулевом поле (РНП) D , отделяющая два спиновых подуровня триплетного состояния с квантовым числом $M_s = \pm 1$ от уровня $M_s = 0$, изменилась в молекуле O_2 под влиянием 5-метилрезорцина. В чистом кислороде согласно полуэмпирическим расчетам она составляет $1,71 \text{ cm}^{-1}$ [14], а рассчитанная нами в комплексе $(\text{O}_2\text{—MP})$ — $2,08 \text{ cm}^{-1}$.

ЗАКЛЮЧЕНИЕ

Выявлены слабосвязанные термы основного и возбужденных состояний комплексов кислорода с 5-метилрезорцином. Показано, что под влиянием 5-метилрезорцина в кислороде индуцируются электрические дипольные моменты переходов $a^1\Delta_g\rightarrow X\ ^3\Sigma_g^-$ и $b^1\Sigma_g^+\rightarrow X\ ^3\Sigma_g^-$, что обеспечивает повышение вероятности конверсии спина в триплетном состоянии молекулярного кислорода.

СПИСОК ЛИТЕРАТУРЫ

1. Новиков В.В., Казацкая Ж.А., Эль-Регистан Г.И., Литова В.В., Шутанова Ж.У. // Иммунология. – 2007. – № 1. – С. 22 – 23.
2. Kozubek A., Tuman J. // Chem. Rev. – 1999. – **99**. – Р. 1 – 25.
3. Кобзев Г.И., Урваев Д.Г. // Журн. физ. химии. – 2010. – **84**, № 7. – С. 1324 – 1332.
4. Урваев Д.Г. // Вестник ОГУ. – 2005. – № 5. – С. 102 – 106.
5. Кобзев Г.И., Урваев Д.Г. // Журн. структур. химии. – 2006. – **47**, № 4. – С. 628 – 635.
6. Hohenberg P., Kohn W. // Phys. Rev. (B). – 1964. – **136**. – Р. 864 – 871.
7. Kohn W., Sham L.J. // Phys. Rev. (A). – 1965. – **140**. – Р. 1133 – 1138.
8. Plakhutin B.N., Gorelik E.V., Breslavskaya N.N. // J. Chem. Phys. – 2006. – **125**. – Р. 204110 – 2041119.
9. Granovsky Alex A. Firefly version 7.1.G, www <http://classic.chem.msu.su/gran/firefly/index.html>
10. Schmidt M.W., Baldridge K.K., Boatz J.A., Elbert S.T., Gordon M.S., Jensen J.H., Koseki S., Matsunaga N., Nguyen K.A., Su S.J., Windus T.L., Dupuis M., Montgomery J.A. // J. Comput. Chem. – 1993. – **14**. – Р. 1347 – 1363.
11. Schweitzer C., Schmidt R. // J. Chem. Rev. – 2003. – **103**. – Р. 1685 – 1757.
12. Минаев Б.Ф. // Журн. приклад. спектроскоп. – 1985. – **42**, № 58. – С. 766 – 772.
13. Minaev B.F., Lunnel S., Kobzev G.I. // J. Quant. Chem. – 1994. – **50**. – Р. 279 – 285.
14. Минаев Б.Ф. // Изв. вузов. Физика. – 1978. – № 9. – С. 115 – 120.